Beiträge zur Chemie des Bors, 112 [1] Zur Kenntnis von 1.3.2-Dithiaborolen [2]

Contributions to the Chemistry of Boron, 112 [1] 1,3,2-Dithiaboroles [2]

Richard Goetze und Heinrich Nöth*

Aus dem Institut für Anorganische Chemie der Universität München, Meiserstraße 1. D-8000 München 2

Herrn Professor Dr. Mathias Seefelder zum 60. Geburtstag gewidmet

Z. Naturforsch. 35b, 1212-1221 (1980); eingegangen am 30. Januar 1980

1,3,2-Dithiaboroles, ¹¹B NMR Spectra, ¹³C NMR Spectra

Several methods were used to prepare a series of boron substituted 1,3,2-dithiaborols. The NMR data of this new class of compounds indicate in comparison to 1,3,2-dithiaborolanes, that the heterocycle can be looked at as a 6 π -electron system. A high degree of analogy in the mass spectrometric fragmentation of dithiaborolanes and dithiaborols exists, however, the parent ion of 2-methyl dithiaborol is more stable than that of the saturated analogon.

Die Frage nach dem Einfluß cyclischer Elektronendelokalisierung in Heterocyclen des Bors hat seit dem ersten umfassenden Vergleich des Borazins [3] mit seinem isoelektronischen Partner, dem Benzol, nicht an Aktualität verloren. Durch Bildungstendenz, hohe thermische Stabilität und relativ geringe endocyclische Reaktivität heben sich die Borazine von anderen sechsgliedrigen Heterocyclen des Bors ab. Beachtliches Bildungsstreben und thermische Beständigkeit kennzeichnen auch fünfgliedrige 6π -Elektronensysteme, etwa die 1.2.4-Triaza-3.5-diborolidine [4]. Verglichen mit 1.3.2-Diazaborolidinen [5] kommt den 1.3.2-Diazaborolinen [6] der Charakter eines fünfgliedrigen 6π-Elektronen-Systems zu: dies belegen einerseits die UV- [6] und He(I)-Photoelektronen-Spektren [7] und andererseits das chemische Verhalten, etwa als 6π -Elektronenligand [8].

Im Bereich der Bor-Schwefel-Heterocyclen scheinen analoge Verhältnisse vorzuliegen. So sind die sechsgliedrigen Borthiine (XBS)₃ planar gebaut [9], und die ebenfalls planaren 1.2.4-Trithia-3.5-diborolane zeichnen sich durch erstaunliche Bildungstendenz [10] und gute energetische Stabilisierung der π -Orbitale [4b] aus. Das bisher unbekannte 1.3.2-Dithiaborol (1) könnte somit als 6π -Elektronen-Heterocyclus aufzufassen sein. Ein Vergleich mit den bereits gut erforschten 1.3.2-Dithiaborolanen (2) [11] sollte dies belegen.

Synthese von 1.3.2-Dithiaborolen

1.3.2-Diazaboroline entstehen durch Dehydrieren von 1.3.2-Diaza-borolidinen mit Palladium auf Aktivkohle [6]. Den Entzug von Wasserstoff aus 1.3.2-Dithiaborolanen zu 1.3.2-Dithiaborolen untersuchten wir wegen der leichten Vergiftung geeigneter Pd-Katalysatoren durch Schwefelverbindungen jedoch nicht, denn das Ringsystem 1 läßt sich verhältnismäßig leicht nach den Reaktionen (1)–(7), die in der Übersicht 1 zusammengefaßt sind, aufbauen.

N[Si(CH3)3]2

^{*} Sonderdruckanforderungen an Prof. Dr. H. Nöth. 0340–5087/80/1000–1212/\$ 01.00/0

Sehr schonende Bedingungen genügen für die Ringsynthese ausgehend von cis-1.2-Dimercaptoethylen (3). Zwar sind das Methyl- (1a) wie Phenylderivat (1b) so gut zugänglich, jedoch ist es wegen sehr ähnlicher Siedepunkte schwierig, diese von den noch unumgesetzten Methylthioboranen RB(SCH₃)₂ (R = CH₃, C₆H₅) abzutrennen. Ebenfalls nur im Gemisch mit B(SCH₃)₃ und 8 fällt bei der Umsetzung von 3 mit B(SCH₃)₃ das 2-Methylthioderivat (1g) an. Grund dafür ist das sich rasch einstellende Gleichgewicht (8). Eine analoge Reaktion beobachtet man beim 2-Methylthio-1.3.2-dithiaborolan nicht.

$$3 CH_3S-B \stackrel{S}{\searrow} \Rightarrow B(SCH_3)_3 + \stackrel{S}{\swarrow}_S B-S \stackrel{S}{\searrow} S-B \stackrel{S}{\searrow}$$
1a 8

Trotz der schonenden Reaktionsbedingungen empfiehlt sich Reaktion (1) nicht generell als Synthesemethode für 1-Verbindungen, da auch die Darstellung von 3 aus 4 nicht sehr effektiv ist. Hingegen ließ der starke nukleophile Schwefel in 4 erwarten, daß 1 viel günstiger auf dem durch Reaktion (2) beschriebenen Weg darzustellen sei. Tatsächlich gelingt nach (2) aber nur der Zugang zu den Dialkylamino-Derivaten 1i und 1k, d.h. die Bor-Verbindung RBX₂ darf keine sehr starke Lewis-Säure sein.

Die stark Lewis-aciden Verbindungen CH₃BBr₂ und C₆H₅BCl₂ reagieren exotherm mit 4. In den ¹¹B–NMR-Spektren der Reaktionslösungen beobachtet man danach Signale um 30 ppm; es liegt also keine CBS₂-Gruppierung vor. Außerdem fehlt im ¹H–NMR-Spektrum das Signal für vinylische Protonen. Diese Befunde deuten darauf hin, daß im Zuge der Reaktion entweder eine Organoborierung und/oder eine Halogenoborierung erfolgt ist, oder durch die starke Lewis-Säure eine Oligomerisierung des C₂H₂S₂-Teils ausgelöst wurde. Eine Identifizierung der Reaktionsprodukte gelang bisher nicht.

Die bei der Synthese von Alkylthioboranen und 1.3.2-Dithioborolanen bewährte Einführung von RS-Gruppierungen [12] läßt sich ohne größere Schwierigkeiten auf die 1-Synthese übertragen. Die erforderliche, vergleichsweise hohe Reaktionstemperatur (80–120 °C) schließt die Synthese thermolabiler Dithiaborole aus. Jedoch fallen das Methyl-, Phenyl- und Dimethylamino-Derivat (1a, 1b, 1i) hierbei in guten Ausbeuten an.

Im 2.2-Dimethyl-1.3.2-dithiastanna-cyclopenten (6) liegt das günstigste Ausgangssystem zur 1-

Synthese vor. Die in homogener Phase bei Raumtemperatur durchführbare Reaktion (4) erlaubt auch den Zugang zu den Halogen-Derivaten 1c und 1d. Durch Abtrennen von (CH₃)₂SnX₂ bei tiefer Temperatur schließt man Trennprobleme und eine eventuelle Methylierung am Bor aus.

Nach M. Schmidt und F. R. Rittig [13] spalten Borhalogenide die CS-Bindungen des Bis(tert-butyl)-thioethers sehr leicht. Neben den tert-Butylhalogeniden wurden Borthiine entweder isoliert oder nachgewiesen. Dieser Reaktionstyp ermöglicht ausgehend vom cis-Di-(tert-butylthio)ethylen (7) ebenfalls die Synthese von 1. Nach (5) führten allerdings nur die Umsetzungen mit CH₃BBr₂ und C₆H₅BBr₂ zu 1a bzw. 1b zum Erfolg. Die Einwirkung von BCl₃ oder BBr₃ auf 7 liefert zwar das tert-Butylhalogenid, jedoch entstehen hauptsächlich nichtflüchtige, zähölige Produkte. In den abkondensierten Produkten sind 1c bzw. 1d ¹¹B-NMR-spektroskopisch nur in geringer Menge nachweisbar [14].

Die ¹H–NMR-spektroskopische Verfolgung der Einwirkung von CH₃BBr₂ auf 7 zeigt, daß das Boran bei 60 °C die Isomerisierung von cis-1.2-Di(tert)-butylthio)ethylen zum trans-Isomeren begünstigt. Da beide Isomere im Gleichgewicht miteinander stehen und durch die CS-Spaltung 7 laufend dem Gleichgewicht entzogen wird, könnte man auch das trans-Isomere in die Reaktion einsetzen, bei dem die CS-Spaltung langsamer verläuft. Auch (CH₃)₂BBr katalysiert die Einstellung des Isomerisierungsgleichgewichts in CH₂Cl₂ bei 60 °C; die CS-Spaltung, die in diesem Fall gemäß ¹¹B–NMR-Spektrum kein einheitliches Produkt liefert, setzt mit merklicher Geschwindigkeit erst über 60 °C ein.

Unterwirft man 1.2-Di(benzylthio)ethylen der Einwirkung von CH_3BBr_2 , dann erfolgt Spaltung der S-Vinyl-Bindung. Das $^{11}B-NMR$ -Signal bei 64 ppm belegt die Bildung von $CH_3B(SCH_2C_6H_5)_2$.

Reaktion (6) stützt sich auf die Erfahrung, daß zwischen zwei verschiedenen Boranen Substituentenaustausch erfolgt. Die Reaktionsrichtung wird durch
das am stärksten basische und durch das am stärksten acide Zentrum bestimmt. Borane sollte daher
bevorzugt am Stickstoff-Atom von 1i und nicht an
den Ringschwefelatomen angreifen [15]. In der Tat
entstehen 1c und 1d aus 1i und CH₃BBr₂ bzw.
C₆H₅BCl₂ ohne Schwierigkeiten, d.h. das Halogen
tauscht spezifisch gegen die Dimethylamino-Gruppe
aus. Im Gegensatz dazu eignet sich (CH₃)₂BBr nicht
zur Synthese von 1d nach (6), da bei der destillati-

ven Aufarbeitung (CH₃)₂BBr als die am leichtesten flüchtige Komponente aus dem Gleichgewicht (9) entfernt wird.

$$(CH_3)_2BBr + (CH_3)_2N-B \stackrel{S}{\Longrightarrow} \rightleftharpoons (CH_3)_2B-N(CH_3)_2+Br-B \stackrel{S}{\Longrightarrow}$$
 (9)

Noch einfacher als 1i ermöglicht das Brom-Derivat 1d den Zugang zu weiteren 1-Derivaten. Untersucht haben wir Si-O- und Si-S-Spaltungen nach (7), die problemlos zum tert-Butyloxy- (1f) und zum tert-Butylthio-Derivat (1h) führen. In Übereinstimmung mit dem Ergebnis der Umsetzung von 3 mit B(SCH₃)₃ fällt bei der Umsetzung von 1d mit (CH₃)₃Si-SCH₃ kein reines 1g, sondern ein Produkt an, das neben 1g noch B(SCH₃)₃ und 8 enthält. Das tert-Butylthio-Derivat 1h setzt sich aber nicht mit 8 und B(SC(CH₃)₃)₃ ins Gleichgewicht. Da die energetischen Verhältnisse für ein Gleichgewicht nach (8) für 1g und 1h sehr ähnlich sein dürften, sollte die Stabilität von 1h kinetisch bestimmt sein. Die sperrige tert-Butylgruppe erschwert die Bildung der

$$2 \left(\begin{array}{c} S - S \\ S \end{array} \right) \Rightarrow \left(\begin{array}{c} S \\ S \end{array} \right) \Rightarrow \left(\begin{array}{c} S \\ S \end{array} \right) = \left(\begin{array}{c} S \\ S \end{array} \right)$$

für den Substituentenaustausch [10] erforderliche Zwischenstufe 9, die über 10, das mit einem weiteren Molekül 1h reagieren müßte, schließlich zu 8 und B(SR)₃ führen würde.

Aus diesem Grunde ist auch das tert-Butoxyderivat 1f stabil (zumindest bei Raumtemperatur in CH₂Cl₂-Lösung), während die Synthese des Methoxy-Derivats 1e nicht gelang. Es disproportioniert gemäß ¹¹B-NMR-Spektrum in B(OCH₃)₃ und 8. In gleicht 1e der dieser Hinsicht Verbindung CH₃OB(SCH₃)₂, die sich nur im Gleichgewicht mit B(OCH₃)₃ und B(SCH₃)₃ sowie (CH₃O)₂BSCH₃ nachweisen läßt, wobei die Lage des Gleichgewichts auf der Seite der symmetrischen Verbindungen liegt [16]. Ebensowenig ließ sich 2-Methoxy-1.3.2-dithiaborolan aus CH₃O-Si(CH₃)₃ gewinnen, und auch Finch und Pearn [18] erhielten bei der kontrollierten Butanolyse von 2-Chlor-1.3.2-dithiaborolan nur die Symmetrisierungsprodukte B(OBu)₃ und 11 [19].

$$\binom{S}{S}B-S$$
 $S-B\binom{S}{S}$ $B-R$ 12

Alle Dithiaborole sind sehr hydrolyseempfindlich und reagieren mehr oder minder heftig mit Alkoholen, Aminen, Ketonen und protonenaktiven Verbindungen. Diese beträchtliche Labilität ist auf Grund der schwachen B-S-Bindung einerseits und den relativ aciden Eigenschaften des Bors in einer BS₂-Gruppe andererseits nicht überraschend. Vergleichende Untersuchungen zur Reaktivität von Dithiaborolen und Dithiaborolanen werden Auskunft über Unterschiede in beiden Systemen aufzeigen.

Kernresonanzspektroskopische Untersuchungen

In Tab. I finden sich die den 1 H-, 11 B- und 13 C-NMR-Spektren entnommenen Daten. Sie enthält außerdem die δ^{11} B-Werte einer Reihe von 1.3.2-Dithiaborolanen sowie NMR-Daten einiger anderer Bis(mercapto)ethylen-Derivate zum Vergleich.

Der wesentliche strukturelle Unterschied zwischen dem Dithiaborolan-System 2 und dem Dithiaborol-System 1 dürfte auf Änderungen an den Ringinnenwinkeln beruhen, die durch die Verkürzung des CC-Abstandes verursacht werden. Außerdem ist ein planares 1-System zu erwarten.

$^{11}B ext{-}Kernresonanzdaten$

Die Bor-Kerne in den Dithiaborolen erfahren eine bessere Abschirmung als in den Dithiaborolanen. Der Abschirmungsgewinn beträgt, von den Cl-, CH₃S-und (C₂H₅)₂N-Verbindungen abgesehen, ~7 ppm. Auch die ¹¹B-Signale der Benzodithiaborolane (12) [20]) R: CH₃ ¹¹B 62,2; C₆H₅ ¹¹B 59,8; Br ¹¹B 52,3) liegen bei niedrigerem Feld als die der Dithiaborole.

Mit knapp 1 ppm ist der Unterschied in der Abschirmung jedoch nicht mehr groß. Danach verursacht die Einführung der C=C-Doppelbindung in ein C₂S₂B-Fünfringsystem einen nicht unbeträchtlichen Abschirmungsgewinn für den Bor-Kern. Dieser entspricht in etwa dem, den man beim Übergang des Diazaborolidin-Systems in das "aromatische" Diazaborolin-System beobachtet. Der Abschirmungsunterschied nimmt mit R = CH₃ > Cl > $SCH_3 > NR_2$, d.h. mit steigender π -Donorwirkung der Substituenten R ab. Da δ^{11} B von Bor-Verbindungen mit trikoordiniertem Bor mit der π -Elektronendichte am Bor-Atom linear korreliert [21], folgt, daß die π -Ladungsdichte q_e^{π} am Bor in den Dialkylaminoverbindungen stark von der BN- π -Bindung bestimmt wird [22]. Im Gegensatz dazu spricht die Hochfeldlage des 11 B-NMR-Signals von 1a und 1b im Vergleich mit Dithiaborolanen für eine bessere Delokalisierung der π -Elektronendichte innerhalb des Dithiaborol-Rings, die offenbar dann zum Tragen kommt, wenn der exocyclische B-Substituent nicht oder nur wenig zur π -Rückbindung beiträgt.

13C-NMR-Spektren

Die 13 C-chemischen Verschiebungen der Ringkohlenstoffe von 1-Derivaten liegen im Bereich olefinischer C-Atome. Sie überstreichen den engen Bereich von 121–129 ppm. Wie Abb. 1 zeigt, besteht zwischen δ^{11} B und δ^{13} C eine angenäherte lineare Beziehung.

Die starke Abweichung des Br-Derivats von der Ausgleichsgeraden ist auf den Anisotropie-Effekt des Broms zurückzuführen. Er ist für das Cl-Atom noch nicht so ausgeprägt, weshalb 1 c kaum von der Geraden abweicht. Jedoch belegen die δ¹³C-Daten den elektronenanziehenden Einfluß der Halogene, der eine Entschirmung der C-Kerne verursacht. Die relativ gute Abschirmung der Ring-C-Atome bei den Dialkylamino-Derivaten spiegelt die höhere Elektronendichte im Ring wieder, die als Folge geringerer π -Ladungsdichteübertragung innerhalb des Ringes auf das Bor-Atom aufzufassen ist. Deutlich zeigt dies der Vergleich mit dem δ^{13} C-Wert für den Zinnheterocyclus 6, während der δ¹³C-Wert für C₂H₂S₂Na₂ (4) nicht vergleichbar ist, da kein Ringsystem vorliegt und zudem D₂O als Lösungsmittel diente. Im Dithiacyclopententhion entspricht die Abschirmung der ,olefinischen' Ring-C-Atome etwa dem Brom-Derivat 1d.

Die Kopplungskonstanten $^1J_{\text{CH}}$ ändern sich in Abhängigkeit vom B-Substituenten nur wenig. Offenbar bewirken diese Substituenten praktisch keine Veränderung der Ringgeometrie und damit der Hybridisierung an den Ring-C-Atomen. In einigen Fällen ließ sich auch $^2J_{\text{CCH}}$ ermitteln.

¹*H*-*NMR*-*Spektren*

Während δ^{11} B und δ^{13} C nur wenig von Lösungsmittel und Konzentration beeinflußt werden, trifft dies bekanntlich nicht mehr für δ^{1} H zu. Daher sind die δ^{1} H-Werte analoger Dithiaborole und Dithiaborolane selbst bei Standardisierung von Lösungsmittel und Konzentration nur bedingt vergleichbar, da die Wechselwirkung zwischen Lösungsmittel und Gelöstem wegen der unterschiedlichen Molekülge-

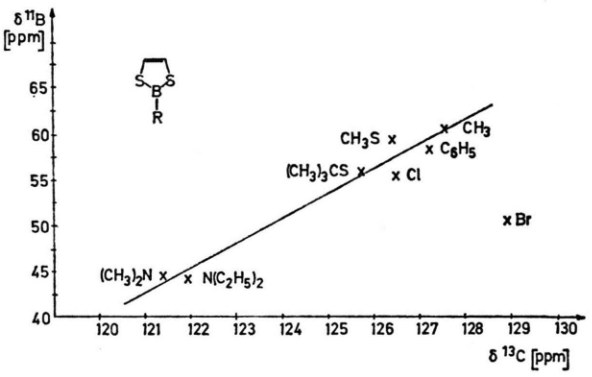


Abb. 1. Korrelation von δ^{11} B und δ^{13} C für 1.3.2-Dithiaborole.

stalt verschieden ist. Trotz dieser beschränkten Vergleichbarkeit entnimmt man den $\delta^1 H$ -Werten der Dithiaborol-Ring-Protonen, daß diese um so besser abgeschirmt sind, je besser auch der Bor-Kern abgeschirmt ist. Die Halogenderivate weichen von diesem Trend allerdings ab. Gleiches gilt für die Protonen der CH₂-Gruppe in der Reihe der Dithiaborolane.

Erwähnenswert ist außerdem, daß das ¹H–NMR-Signal der olefinischen H-Atome beim Chlor- und Brom-Derivat (1 c, 1 d) als intensitätsgleiches Quartett erscheint. Dies entspricht einer Kopplung zwischen ¹H und ¹¹B über drei Bindungen.

Massenspektrometrische Untersuchungen

Cragg und Mitarbeiter [23] haben die massenspektrometrische Fragmentierung einer Reihe von Dithiaborolanen eingehend untersucht und dabei für B-Phenyl-Verbindungen drei Zerfallswege beobachtet: a) Ethylenverlust unter Bildung eines PhBS₂-Fragments, b) Bildung von Thiiran-Kationen unter Phenylborsulfid-Abspaltung, c) Umlagerung zum C₈H₈+-Ion unter Eliminierung von (HS)BS. Die Dithiaborole ermöglichen es nun, das Fragmentierungsverhalten eines gesättigten mit einem ungesättigten System zu vergleichen. Die experimentellen Ergebnisse fassen die Abbn. 2–5 zusammen.

Ein Vergleich der Abbaumuster lehrt, daß zwischen beiden Verbindungsreihen kein prinzipieller Unterschied besteht und zwei Fragmentierungswege dominieren, nämlich

- 1. die Abspaltung von Ethylen bzw. Acetylen aus dem Molekül-Ion und
- 2. die Eliminierung des Sulfids XB=S.

Tab. I. Kernresonanzspektroskopische Daten von 1.3.2-Dithiaborolen. Alle Signale liegen bei tieferem Feld als die Standards (δ^1 H: (CH₃)₄Si intern, δ^{11} B: BF₃. Ether extern, δ^{12} C: D¹³CCl₃ intern; δ -Werte in ppm, J in Hz). Alle ¹³C–NMR-Spektren wurden in CDCl₃-Lösung gemessen mit Ausnahme von C₂H₂S₂Na₂ (D₂O). Ansonsten gilt: a CH₂Cl₂; b CDCl₃; c C₆H₆; d C₆D₆/CH₂Cl₂.

	S _B	-R		(S)B-1	R										
	$\delta^1 \mathbf{H}$	$\delta^{11}{ m B}$	$\Delta^{11}\mathrm{B}$	δ^{11} B	$\delta^1 {f H}$	$\delta^1 {f H}$	$\delta^{13}\mathrm{C}$	$^1J_{ m CH}$	$^2J_{ m CCH}$	$\delta^{13}{ m C}$		$J\left[\mathrm{H}\right]$	$[\mathbf{z}]$		
R	$\mathrm{CH_2}$				H-C=	$ m R = CH_3 \ XCH_3$, H-C=	н		R					
$\mathrm{CH_3}$	3,19	68,4	6,9	61,5a	$6,76^{a}$	1,17 S	127,6	177	-	-0,9		$J_{ m CH}$	120	$J_{ m BC}$	53,6
$\mathrm{C_6H_5}$	3,40	66,2ª	7,1	59,1ª	6,98ª	7,27 M 7,68 M	127,2	183,1		$egin{array}{c} { m C_{2,6}} \\ { m C_{3,5}} \\ { m C_{4}} \end{array}$	132,7 133,9 128,1 130,8	$J_{ m CH}$	156,0 154,4 160,0		
Cl	3,43	61,7	5,9	55,8a	$6,75^{\mathrm{b,e}}$	-	126,5	184,6	6,3						
\mathbf{Br}	3,45	58,9a	7,1	$51,8^{\mathrm{b}}$	$6,87^{\mathrm{b,f}}$	-	128,7								
$OC(CH_3)_3$	-	-	-	45,7d	$6,49^{d}$	1,41	-								
SCH_3	3,30	64,6a	5,4	59,2a	$6,82^{a}$	2,33	126,3			SCH_3	15,4	$J_{ m CH}$	142		
$SC(CH_3)_3$		-	-	$56,5^{\mathrm{b}}$	$6,95^{\mathrm{b}}$	1,57	125,7	183,1	6,9	${\overset{{}_{\scriptstyle{ ext{C}}}}{\overset{{}_{\scriptstyle{ ext{C}}}}{\overset{{}}{\overset{{}}}}{\overset{{}}}{\overset{{}}}{\overset{{}}}{\overset{{}}}{\overset{{}}}{\overset{{}}}}{\overset{{}}}{\overset{{}}}{\overset{{}}}{\overset{{}}}{\overset{{}}}}{\overset{{}}}{\overset{{}}}{\overset{{}}}}{\overset{{}}}{\overset{{}}}{\overset{{}}}{\overset{{}}}{\overset{{}}}}{\overset{{}}}{\overset{{}}}{\overset{{}}}{\overset{{}}}{\overset{{}}}{\overset{{}}}{\overset{{}}}{\overset{{}}}}{\overset{{}}}{\overset{{}}}{\overset{{}}}}{\overset{{}}}{\overset{{}}}{\overset{{}}}{\overset{{}}}{\overset{{}}}}{\overset{{}}}{\overset{{}}}{\overset{{}}}}{\overset{{}}}{\overset{{}}}{\overset{{}}}{\overset{{}}}}{\overset{{}}}{\overset{{}}}{\overset{{}}}}{\overset{{}}}{\overset{{}}}{\overset{{}}}{\overset{{}}}{\overset{{}}}{\overset{{}}}{\overset{{}}}{\overset{{}}}}{\overset{{}}}{\overset{{}}}{\overset{{}}}{\overset{{}}}{\overset{{}}}{\overset{{}}}}{\overset{{}}}{\overset{{}}}{\overset{{}}}{\overset{{}}}{\overset{{}}}{\overset{{}}}{\overset{{}}}{\overset{{}}}}}{\overset{{}}}{\overset{{}}}{\overset{{}}}{\overset{{}}}{\overset{{}}}}{\overset{{}}}{\overset{{}}}{\overset{{}}}}{\overset{{}}}{\overset{{}}}{\overset{{}}}{\overset{{}}}{\overset{{}}}}{\overset{{}}}{\overset{{}}}{\overset{{}}}{\overset{{}}}{\overset{{}}}{\overset{{}}}}{\overset{{}}}{\overset{{}}}{\overset{{}}}{\overset{{}}}{\overset{{}}}{\overset{{}}}{\overset{{}}}{\overset{{}}}{\overset{{}}}{\overset{{}}}}{\overset{{}}}{\overset{{}}}{\overset{{}}}{\overset{{}}}{\overset{{}}}{\overset{{}}}{\overset{{}}}{\overset{{}}}{\overset{{}}}{\overset{{}}}{\overset{{}}}{\overset{{}}}{\overset{{}}}{}}{\overset{{}}}{\overset{{}}}{}}{\overset{{}}}{\overset{{}}}}{\overset{{}}}{}}{\overset{{}}}{\overset{{}}}{}}{\overset{{}}}{}{\overset$	$\frac{46,6}{32,1}$	$J_{ m CH}$	$\substack{3,9\\127,0}$	$J_{ m CCH}$	4,9
$N(C_2H_5)_2$	2,91	$45,5^{c}$	1,2	44,3 ^b	$6,43^{\rm b}$	$^{3,09^{ m g}}_{1,13~{ m T}^{ m g}}$	$121,9 \\ 121,3$	$181,3 \\ 182,1$	$7,3 \\ 6,9$	$egin{array}{l} \mathbf{NCH_3} \\ \mathbf{NCH_2} \end{array}$	$\substack{42,3\\46,4}$	$J_{ m CH} \ J_{ m CH}$	$\substack{135,5\\135,0}$	$J_{ m CNCH} \ J_{ m CCH}$	4,9 3,0
NSI(CH ₃) ₃	-	-	-	53,0d	6,68 ^b	0,13	123,2	182,0	6,1	$ NCH_2-CH_3 $ $ SiCH_3$	$^{14,1}_{3,13}$	$J_{ m CH} \ J_{ m CH}$	$\substack{126,0\\118,4}$		
S Sn(CH ₃))2				$6,50^{a}$		120,1	177,2 ^h		$\mathrm{Sn}\underline{\mathrm{CH}}_3$	3,3	$J_{ m CH}$	133,9	$J_{ m SnC}$	368,7
Se Na+					-		129,0	164,0	8,1						
S-C(CH ₃) ₃					-		121,7			$\stackrel{\scriptstyle ext{C}(ext{CH}_3)}{ ext{C}(ext{CH}_3)}$	$\frac{44,0}{31,3}$				
$\int_{S}^{S} c = s$					7,17a		129,1	189,2	3,7	C=S	212,9				

e $J_{\rm BH}$ 10 Hz; f $J_{\rm BH}$ 9 Hz; g $J_{\rm HCCH}$ 7 Hz; h $J_{\rm CSSN}$ 4 Hz.

Dies bedeutet, daß sich die Radikal-Kationen sehr gut stabilisieren, denn die Abspaltung von Br z.B. beim 2-Brom-dithiaborol (1 d) erfolgt erst im zweiten Fragmentierungsschritt. Während beim Abbau von 2-Brom-1.3.2-dithiaborolan nicht das Molekül-Ion den Basispeak stellt, sondern das Thiiran-Ion der MZ 60 – das auch als Thioacetataldehyd-Radikalkation formuliert werden könnte – ist im Falle des ungesättigten Analogons 1d das Molekül-Ion der Basispeak. Bei allen anderen Beispielen stellt das Molekül-Ion in beiden Reihen stets den Basispeak.

Der Hauptunterschied in der Bruchstückionen-Bildung der Chlor- im Vergleich mit den Brom-Verbindungen (Abbn. 2 und 3) besteht darin, daß sich das Aufbrechen der B-Br-Bindung, die bekanntlich schwächer als die B-Cl-Bindung ist, besser beobachten läßt.

Erwähnt sei außerdem, daß beim massenspektrometrischen Abbau von 2-Brom-1.3.2-dithiaborolan noch zwei Bruchstücke bei MZ 140 bzw. 138 beobachtet wurden. Diese können aus einer Abspaltung von CS bzw. von H_2 CS aus M^+ hervorgehen. Die zugehörigen metastabilen Peaks ließen sich aber nicht beobachten.

Während der Abbau von 2-Methyl-1.3.2-dithiaborolan (Abb. 4) durch sehr wenig Fragment-Ionen und durch die beiden erwähnten Zerfallswege charakterisiert ist, beobachtet man zwei weitere bei 1a: Unter Umlagerung und BS₂-Abspaltung entsteht ein C₃H₅-Kation, das wohl als Allyl-Kation zu formulieren ist. Außerdem findet noch eine CS-Eliminierung statt, die mit einer H-Wanderung verbunden ist. Schließlich belegt die genaue Analyse der Intensitätsverteilung im Molekül-Ion und dem

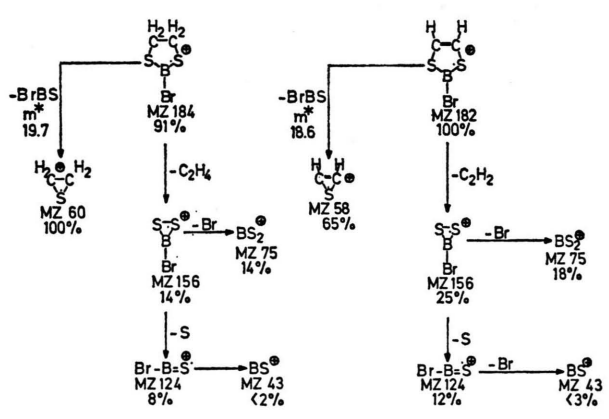


Abb. 2. Massenspektrometrische Fragmentierung von 2-Brom-1.3.2-dithiaborolan und -1.3.2-dithiaborol bei 70 eV.

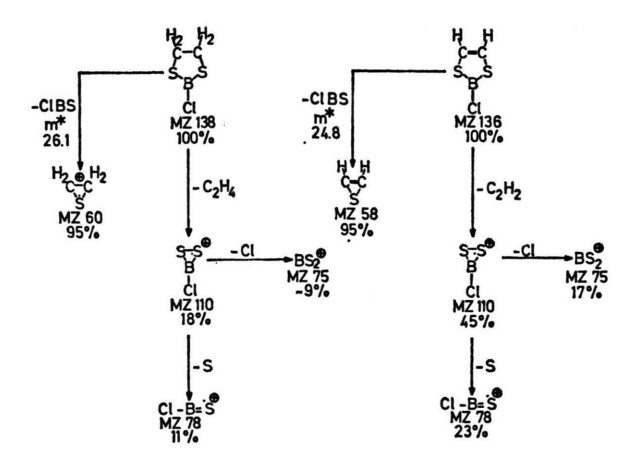


Abb. 3. Massenspektrometrische Fragmentierung von 2-Chlor-1.3.2-dithiaborolan und -1.3.2-dithiaborol bei 70 eV.

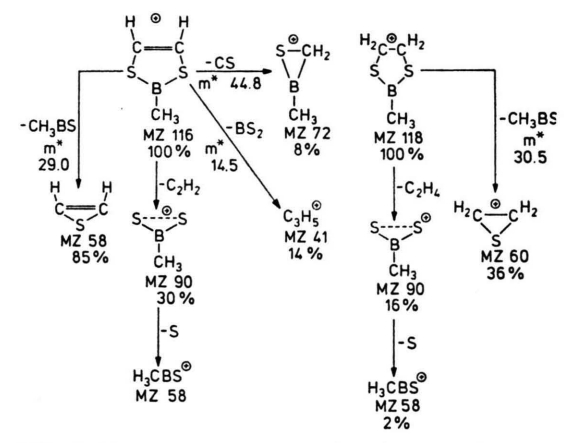


Abb. 4. Massenspektrometrische Fragmentierung von 2-Methyl-1.3.2-dithiaborolan und -1.3.2-dithiaborol bei $70~{\rm eV}.$

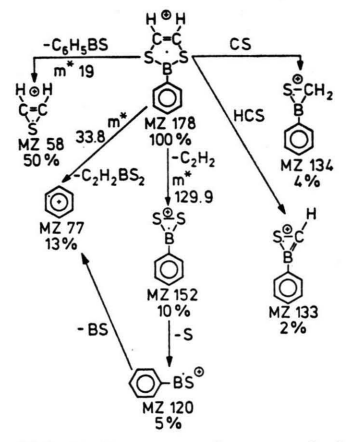


Abb. 5. Massenspektrometrische Fragmentierung von 2-Phenyl-1.3.2-dithiaborol bei 70 eV.

aus ihm hervorgehenden CH_3BS_2 -Kation, daß diese von einem um 1 H-Atom ärmeren Ion begleitet werden. Ihr Anteil an der Gesamtintensität ist allerdings gering ($\sim 2\%$).

Die bei 1a zusätzlich beobachteten Zerfallswege weisen auf eine höhere Stabilität des ungesättigten Ringes im Vergleich zum gesättigten unter Bedingungen des Abbaus im Massenspektrometer hin.

Zwei wesentliche Unterschiede beobachtet man im Fragmentierungsverhalten von 2-Phenyl-dithiaborol (1b) und dem entsprechenden Borolan [23a]. So tritt bei 1b im Gegensatz zum Borolan kein dem C₈H₈-Ion [23] analoges C₈H₆-Ion oder gar ein Boratropylium-Ion [24] auf. Außerdem erfolgt direkte B–C-Spaltung: die Ladung verbleibt am C₆H₅-Kation, eliminiert wird BS₂C₂H₂, das damit ebenfalls die Stabilität des Borol-Ringes belegt. In untergeordnetem Maße beobachtet man schließlich noch eine Abspaltung von CS und HCS aus dem 1b-Molekül-Ion.

Die hier vorgestellten Ergebnisse zeigen, daß die Darstellung einer großen Zahl von 1.3.2-Dithiaborolen möglich ist. Die Synthese des Grundkörpers $C_2H_3BS_2$ steht jedoch ebenso noch aus wie die des Fluor-Derivats. Im Bereich der Bor-Schwefel-Heterocyclen ist die Darstellung dieser Verbindungen bekanntlich sehr schwierig, teils wegen Polymerisation oder Oligomerisierung, teils wegen Disproportionierungsreaktionen. Die angezeigte Ringstabilität der Dithiaborole läßt ihre Darstellung aber nicht gänzlich hoffnungslos erscheinen.

Beschreibung der Versuche

Alle Versuche wurden unter N₂ als Schutzgas ausgeführt, teils auch unter Argon. Zur Verwendung kamen nur absolut wasserfreie Lösungsmittel.

Für die spektroskopischen Untersuchungen standen zur Verfügung die Kernresonanzspektrometer A-60, HA-100 von Varian und WP 200 (13C) von Bruker, das Massenspektrometer CH7 von Varian und das IR-Gerät 325 von Perkin-Elmer. Die Elementaranalysen führte das mikroanalytische Labor des Instituts aus.

Ausgangsverbindungen: Die Organylborhalogenide erhielten wir nach dem üblichen Verfahren. cis-1.2-Bis(tert-butylthio)ethylen [25] enthielt entgegen den Angaben in der Literatur die trans-Verbindung, die sich aber ohne Schwierigkeiten destillativ abtrennen ließ. Das Natriumsalz des 1.2-Dimercaptoethylens erhielten wir nach der Literaturvorschrift [26].

2.2-Dimethyl-1.3.2-dithiastannacyclopenten [27] entstand aus 15,5 g (111 mmol) C₂H₂S₂Na₂, gelöst

in 150 ml N_2 -gesättigtem Wasser und $34,29 \, g$ (111 mmol) (CH₃)₂SnBr₂, gelöst in 250 ml Wasser unter Eiskühlung. Der käsig-weiße Niederschlag wurde abgesaugt und sorgfältig mit Wasser gewaschen. Nach Trocknen extrahierte man im Soxhlet-Apparat mehrere Tage mit Hexan. Die Zinnverbindung kristallisierte aus Hexan in dicken Nadeln. Ausbeute: $18 \, g \, (68 \, \%)$.

Bleiethylendithiolat, $C_2H_2PbS_2$, entstand beim Eintropfen einer Aufschlämmung von 20 g $C_2H_2Na_2S_2$ in etwa 50 ml abs. Ethanol in eine kräftig gerührte Lösung von 62 g Bleiacetat und 65 g Ammoniumacetat in $1\,l\,N_2$ gesättigtem Wasser. Die entstehende ziegelbis tomatenrote Suspension wurde $1\,h$ gerührt. Danach nutschte man ab, wusch mit Wasser, Methanol und schließlich Aceton und trocknete i.Vak.; Ausbeute: 34,4 g (79%). Die Ausbeute kann bis zu 98% betragen.

Die 1.3.2-Dithiaborolane stellten wir nach [28] dar, (CH₃)₃Si–O–C(CH₃)₃ aus (CH₃)₃SiCl und KOC(CH₃)₃ in Pentan, Sdp. 100–101 °C/710 Torr sowie (CH₃)₃Si–S–C(CH₃)₃ aus (CH₃)₃SiCl und NaSc(CH₃)₃ in Benzol, Sdp. 57–59 °C/20 Torr.

2-Methyl-1.3.2-dithiaborol (1a)

- a) Zu 5,86 g (6,37 mmol) cis-1.2-Dimercaptoethylen [26] und 25 ml CH_2Cl_2 tropfte man bei —40 °C unter Rühren 7,65 g $CH_3B(SCH_3)_2$ [12] in 5 ml CH_2Cl_2 . Nach Auftauen auf Raumtemperatur hielt man die Mischung über Nacht unter Rückfluß. Aus dem von CH_2Cl_2 und Leichtflüchtigem befreiten Rückstand gingen beim Sdp. 48–52 °C/47 Torr (50 cm Drehbandkolonne) 4,21 g nahezu reines 1a über. Die Redestillation, Sdp. 47 °C/32 Torr lieferte 2,73 g (37%) 1a als farblose, hydrolyseempfindliche Flüssigkeit.
- b) Blei-ethylendithiolat (11,54 g,38,8 mmol) wurde unter Rühren auf 90 °C erwärmt. Dann tropft man 6,48 g CH₃BBr₂ [29] langsam zu und hielt 1,5 h bei 110 °C. Nach Zufügen von 60 ml CH₂Cl₂ zur abgekühlten schwarzgrauen Reaktionsmischung und Abfritten vom Unlöslichen lieferte die fraktionierende Destillation 3,96 g (98%) 1a vom Sdp. 46 °C/40 Torr.
- c) Zu 23,8 g (150 mmol) Dimethyl-dithiastannacyclopenten in 100 ml CH_2Cl_2 fügte man unter Rühren eine Lösung von 18,0 g (97 mmol) CH_3BBr_2 in 20 ml CH_2Cl_2 bei —30 °C. Nach 2 h verjagte man das Lösungsmittel. Nach Versetzen des Rückstands mit 150 ml Pentan und Abkühlen auf —78 °C wurde zwei Stunden später das ausgefallene (CH_3)₂SnBr₂ bei —78 °C abgefrittet. Aus dem Filtrat isolierte man 8,9 g 1a (79%) vom Sdp. 40 °C/33 Torr.
- d) 10,2 g (49,9 mmol) cis-Di(tert-butylthio)ethylen in 20 ml CHCl₃ wurden mit 9,5 g (51 mmol) CH₃BBr₂ bei 60 °C umgesetzt. Nach Entfernen der leichtflüchtigen Anteile bei 20 Torr blieb fast reines 1a zurück, das i. Hochvak. umkondensiert wurde. Ausbeute: 5,5 g (96%).

1a ist sehr hydrolyse- und oxydationsempfindlich.

 $C_3H_5BS_2$ (116,0)

Ber. C 23,92 H 4,34, Gef. C 23,60 H 4,31.

2-Phenyl-1.3.2-dithiaborol (1b)

- a) 3,44 g (37,3 mmol) cis-1.2-Dimercaptoethylen und 5 ml CH₂Cl₂ wurden bei —40 °C mit 6,80 g (37,3 mmol) $C_6H_5B(SCH_3)_2$ [12] in 20 ml CH₂Cl₂ versetzt. Die tief gelbgrüne Reaktionslösung [30] entfärbte sich beim Auftauen und lieferte bei der Destillation 5,05 g Produkt vom Sdp. 55–58 °C/5 · 10⁻³ Torr. Es bestand laut ¹H–NMR-Spektrum aus einem Gemisch von 1b mit $C_6H_5B(SCH_3)_2$. Auch bei der Redestillation mit einer 25 cm Drehbandkolonne ließ sich kein analysenreines Produkt abnehmen.
- b) Zu einer Suspension von 10,6 g Bleiethylendithiolat in 10 ml Toluol tropfte man unter Rühren bei 105–110 °C langsam (34 mmol) $C_6H_5BCl_2$ zu. Dabei ging die rote Farbe der Bleiverbindung langsam in ein schmutziges Grau über (~ 3 h). Nach Abfritten des Unlöslichen und Waschen mit CH_2Cl_2 lieferte die destillative Aufarbeitung 3,16 g (55%) 1b vom Sdp. 62 °C/ 10^{-3} Torr.
- c) Wie bei der Darstellung von 1a nach c) brachte man 4.7 g (19,7 mmol) des Dithiastannacyclopentens mit der äquimolaren Menge $C_6H_5BBr_2$ (4,9 g) in 30 ml Hexan zur Reaktion. Nach Abfritten von $(CH_3)_2SnBr_2$ bei -78 °C wurden 3.0 g (85%) 1b bei Sdp. 75 °C/1 Torr isoliert.
- d) 12 g (48,8 mmol) $C_6H_5BBr_2$ und 9,8 g (49 mmol) cis-1.2-Di(tert-butylthio)ethylen wurde 2 h bei 60 °C gehalten. Danach lieferte die Destillation tert-Butylbromid (Sdp. 73 °C) und 1b, Sdp. 65 °C/5 · 10^{-3} Torr.

 $C_8H_7BS_2$ (178,1)

Ber. C 53,96 H 3,34, Gef. C 53,34 H 3,68.

2-Chlor-1.3.2-dithiaborol (1c)

5,0 g (21 mmol) 2.2-Dimethyl-1.3.2-dithiastannacyclopenten [27] lösten sich in 20 ml CH₂Cl₂ nicht vollständig. Unter Rühren kondensierte man bei 0 °C 2,2 ml (27 mmol) BCl₃ in die Suspension, wobei sich das Ungelöste auflöste. Im Laufe von 2 h schied sich aus der Lösung (CH₃)₂SnCl₂ ab. Nach einer weiteren Stunde Rühren, nun bei Raumtemperatur, kondensierte man alles bei 0 °C und 80 Torr Flüchtige ab, versetzte den Rückstand mit 20 ml Pentan, kühlte unter Rühren auf —78 °C ab und trennte nach einigen Stunden die (CH₃)₂SnCl₂-Kristalle mit einer Kühlfritte bei —78 °C ab. Die destillative Aufarbeitung des Filtrats erbrachte 0,55 g (19%) 1c vom Sdp. 78 °C/77 Torr.

 $C_2H_2BClS_2$ (136,4)

Ber. C 17,61 H 1,48, Gef. C 18,01 H 1,63.

2-Brom-1.3.2-dithiaborol (1d)

Eine Suspension von 11,01 g (4,6 mmol) 2.2-Dimethyl-1.3.2-dithiastannacyclopentan in 15 ml Pentan wurde tropfenweise unter Rühren mit 11,54 g (46 mmol) BBr₃ in 15 ml Pentan versetzt. Nach Abklingen der exothermen Reaktion hielt man $1^{1}/_{4}$ h unter Rückfluß, kühlte unter Rühren ab und frittete bei —78 °C ausgefallenes (CH₃)₂SnBr₂ (13,15 g, 92,5%) ab. Aus dem Filtrat fielen 4,9 g (59%) 1d beim Sdp. 74,5–75 °C/30 Torr an.

 $C_2H_2BBrS_2$ (180,9)

Ber. C 13,28 H 1,12, Gef. C 13,58 H 1,15.

2-tert-Butoxy-1.3.2-dithiaborol (1f)

In einem 5 mm NMR-Röhrchen wurden 380 mg 1d in 0.3 ml CH_2Cl_2 mit 320 mg $(CH_3)_3Si-O-C(CH_3)_3$ versetzt. Die schwach exotherme Umsetzung zu $(CH_3)_3SiCl$ und 1f war laut ${}^1H-NMR$ -Analyse erst nach 36 h vollständig. 1f ist mehrere Tage in CH_2Cl_2 -Lösung bei Raumtemperatur stabil.

2-Methylthio-1.3.2-dithiaborol (1g)

- a) 3,5 g (38 mmol) cis-1.2-Dimercaptoethylen, 5,17 g (36,6 mmol) B(SCH₃)₃ [12] und 10 ml CH₂Cl₂ wurden 12 h unter Rückfluß gehalten. Danach kondensierte man bei \sim 10 Torr alles Flüchtige ab und erhielt aus dem Rückstand beim Sdp. 96 bis 98 °C/15 Torr 4,06 g eines Produkts, das nach ¹H–NMR-Analyse aus 1g und B(SCH₃)₃ (Molverhältnis 55:45) bestand. Durch erneute Umsetzung mit cis-1.2-Dithioethylen und Redestillation ließ sich keine Anreicherung von 1g erzielen.
- b) Zu einer Lösung von $5,27\,\mathrm{g}$ (29,1 mmol) 2-Brom-1.3.2-dithiaborol (1d) in 5 ml CH₂Cl₂ tropften unter Rühren 3,5 g (29 mmol) (CH₃)₃SiSCH₃ in 5 ml CH₂Cl₂. Der sich zunächst bildende Niederschlag (Addukt?) löste sich nach kurzer Zeit. Nach 30 min Kochen unter Rückfluß und destillativer Aufarbeitung betrug die Ausbeute nach Redestillation 3,17 g unreines 1g, Sdp. 90,5–93 °C/13 Torr. Die Verunreinigung erwies sich gemäß 11 B–NMR-Spektrum als B(SCH₃)₃ (~5 Mol-%).

Da kein reines $\mathbf{1g}$ erhalten wurde, verzichteten wir auf eine Elementaranalyse.

2-tert-Butylthio-1.3.2-dithiaborol (1 h)

2,68 g (14,8 mmol) 1d wurden bei -78 °C mit 2,41 g (14,8 mmol) (CH₃)₃Si-S-C(CH₃)₃ versetzt und die Mischung drei Tage bei Raumtemperatur gerührt. Dann kondensierte man i.Vak. gebildetes (CH₃)₃SiBr (1 H-NMR) ab. Aus dem flüssigen Rückstand geht 1h beim Sdp. 102-104 °C/0,5 Torr als

stark lichtbrechende Flüssigkeit über. Ausbeute: 2,28 g (84%).

 $C_6H_{11}BS_3$ (190,2)

Ber. C 37.90 H 5.83. Gef. C 37.41 H 5.65.

2-Dimethylamino-1.3.2-dithiaborol (1i)

- a) Zu einer Suspension von 10,14 g (74,5 mmol) C₂H₂S₂Na₂ in 70 ml Benzol tropfte man unter kräftigem Rühren 15 g (70 mmol) (CH_3)₂NBBr₂. Dabei erwärmte sich die Mischung, die 7 h unter Rückfluß erhitzt wurde. Nach Abtrennen des Unlöslichen und Nachwaschen mit CH_2Cl_2 (3 × 10 ml) engte man das rotbraune Filtrat bei 10 Torr ein. Die Destillation des Rückstands lieferte 5,66 g Produkt vom Sdp. 47 bis 53 °C/2 Torr. Laut ¹H-NMR enthielt das Produkt eine aminhaltige Verunreinigung, die durch Zugabe von 0.5 ml frisch destilliertem BF₃-Ether als Addukt bzw. dimeres (CH₃)₂NBF₂ ausgefällt wurde. Danach ging 1i (2,57 g, 25%) beim Sdp. 99 bis $100 \,^{\circ}\text{C}/27$ Torr über. Nach Sublimation bei 10^{-3} Torr (Kühlfinger 0 °C) lag analysenreines 1 i vom Schmp. 25 °C vor.
- b) Wie vorstehend entstand 1i durch Umsetzung von 17,91 g (60,2 mmol) $C_2H_2S_2Pb$ mit 6,82 g (54,2 mmol) (CH_3)₂ $NBCl_2$ in 70 ml Toluol nach 45 min Erhitzen unter Rückfluß. Sdp. 77,5 bis 82 °C/10 Torr. Ausbeute: 4,44 g (56%). Feinreinigung wie oben.

 $C_4H_8BNS_2$ (145,1)

Ber. C 33.12 H 5.56 N 9.65. Gef. C 32,33 H 5,54 N 9,71.

2-Diethylamino-1.3.2-dithiaborol (1k)

Wie vorstehend unter a) beschrieben, führte die Reaktion von 11,8 g (86,7 mmol) $C_2H_2S_2Na_2$ mit 13 ml (90 mmol) (C_2H_5)₂NBCl₂ in 130 ml Toluol (15 h Rückfluß) zu 1k, Sdp. 103-105 °C, Ausbeute: 8,6 g (54%). Beim Stehen schied sich Diethylammoniumchlorid ab. Zugabe von Pentan (je 3×5 ml), Abfritten vom Ungelösten und Abkondensieren des Leichtflüchtigen lieferte fast reines (1H-NMR) 1k.

C₆H₁₂BNS₂ (173.1)

Ber. C 41.63 H 6.99 N 8.09. Gef. C41.44 H7.03 N8.0.

2-Bis(trimethylsilyl)amino-1.3.2-dithiaborol (11)

Zu einer Lösung von 2,01 g (8,3 mmol) $[(CH_3)_3Si]_2N-BCl_2$ [31] in 10 ml Benzol fügte man 1.98 g (8.5 mmol) (CH₃)₂Sn(S₂C₂H₂). Nach 2 h Kochen unter Rückfluß wurde das Benzol verjagt und der Rückstand mit 10 ml Pentan versetzt. Nach Abtrennen von (CH₃)₂SnCl₂ bei —78 °C lieferte die fraktionierende Destillation 1,67 g (77%) 11 beim Sdp. 49-51 °C/10-3 Torr als viskose Flüssigkeit.

 $C_8H_{20}BNS_2Si_2$ (261.4)

Ber. C 37,76 H 7,71, Gef. C 37,00 H 7,82.

Autnahme der Massenspektren: Die Verbindungen wurden über ein aus Glas gefertigtes direktes Einlaßsystem in die auf 120 °C geheizte Probenkammer eingeschleust. Die Stoßenergie der Elektronen betrug 70 eV. Die Zuordnung der Molekül- und Fragmentpeaks erfolgte über die typischen Isotopenmuster, deren Intensitätsverteilung mittels des Programms MASPEC [32] an einem Olivetti P 6060-Rechner überprüft wurde. Bei sich überlagerndern Peaks diente das Programm MASFIT [32] zur Analyse. Peakgruppen mit relativen Intensitäten <5% sind in den Abbildungen nicht berücksichtigt.

Die vorliegende Untersuchung wurde in dankenswerter Weise unterstützt von der Deutschen Forschungsgemeinschaft, dem Fonds der Chemischen Industrie und der BASF-Aktiengesellschaft. Für die Aufnahme der ¹³C-NMR-Spektren am Bruker-WP-200 danken wir Herrn Dr. B. Wrackmeyer, für präparative Arbeiten den Herren cand. chem. J. Riedel und W. Kufer. Die Registrierung der Massenspektren besorgte Frau D. Ewald, die Elementar-analysen führten Frau L. Moser und Herr K. Schönauer aus. Ihnen allen sei an dieser Stelle für ihre Mithilfe gedankt.

- [1] 111. Mitteilung, H. Fußstetter, H. Nöth, H.-G. von Schnering, K. Peters und J. C. Huffman, Chem. Ber., eingereicht.
- [2] Teil der Dissertation R. Goetze, Univ. München 1976.
- [3] E. Wiberg, Naturwissenschaften 35, 182, 212 (1948).
- [4] a) D. Nölle und H. Nöth, Z. Naturforsch. 27b, 1425 (1972); b) J. Kroner, D. Nölle, H. Nöth und W. Winterstein, Chem. Ber. 108, 3807 (1975); c) D. Nölle, H. Nöth and W. Winterstein, Z. Anorg. Allg. Chem. 406, 235 (1974).
- [5] K. Niedenzu und C. D. Miller, Topics Current
- Chem. 15, 191 (1970).
 [6] a) J. S. Meriam und K. Niedenzu, J. Organomet. Chem. 51, C1 (1973);
 - b) Z. Anorg. Allg. Chem. 406, 251 (1974);
 c) L. Weber und G. Schmidt, Angew. Chem. 86, 519 (1974), Angew. Chem. Int. Ed. Engl. 13 (1974); Chem. Ber. 110, 2744 (1977).
- [7] J. Kroner, H. Nöth und K. Niedenzu, J. Organomet. Chem. 71, 165 (1974).
- G. Schmid und J. Schulze, Angew. Chem. 89, 258 (1977), Angew. Chem. Int. Ed. Engl. 16, 249 (1977).

- [9] W. Schwarz, H.-D. Hausen und H. Hess, Z. Naturforsch. 29b, 596 (1974).
- [10] M. Schmidt und W. Siebert, Z. Anorg. Allg. Chem. 345, 87 (1966); M. Schmidt, W. Siebert und F. R. Rittig, Chem. Ber. 101, 281 (1968); M. Schmidt und W. Siebert, Chem. Ber. 102, 2752 (1969)
- [11] GMELIN, Handbuch der Anorganischen Chemie, Ergänzungswerk zur 8. Auflage, Band 19, S.
- [12] R. H. Cragg, J. P. N. Husband und A. F. Weston, J. Inorg. Nucl. Chem. 35, 3685 (1973).
- [13] M. Schmidt und F. R. Rittig, Z. Anorg. Allg. Chem. 394, 152 (1972).
- [14] Näheres hierzu ist Lit. [2] zu entnehmen. Beispielsweise findet man im flüchtigen Anteil der Umsetzung von 7 mit BCl₃ fünf Signale im 11 B-NMR-Spektrum (δ ¹¹B: 7,8, 23,8, 51,7, (55,0 und 60,5). Das Signal bei 55 ppm ist 1¢ zuzu-ordnen, das bei 60,5 ppm der Verbindung 8. Die drei übrigen Signale sind auch unter Heranziehen der relativ unübersichtlichen ¹H-NMR-Spektren nicht sicher zuzuordnen.
- [15] Unveröffentlichte Untersuchungen von H. Nöth und R. Staudigl; R. Staudigl, Diplomarbeit, Univ. München 1979; vgl. auch H. Nöth, R. Staudigl, R. Taeger, Th. Brückner und W. Storch, Pure Appl. Chem., im Druck.
- [16] H. Vahrenkamp, Diplomarbeit, Univ. München 1965.
- [17] Bei der kontrollierten Methanolyse von 2-Brom-1.3.2-dithiaborolan beobachtet man im ¹¹B-Kernresonanzspektrum Signale bei 64,4, 52,6 und 18,9 ppm. Letzteres zeigt B(OCH₃)₃ an, das Tieffeldsignal 11. Das wenig intensive Signal bei 52,6 ppm entspricht in der chemischen Verschiebung einem S2BO-System, d.h. dem 2-Methoxy-Derivat. Zum gleichen Ergebnis führt die Einwirkung von NaOCH3 auf 2-Chlor-1.3.2-dithiaborolan. Entfernt man das im Gleichgewicht stehende B(OCH₃)₃, dann bleibt 11 [19] kristallin

- Auch bei der Siloxanspaltung von (CH₃)₃SiOCH₃ mit 1d sind NMR-spektroskopisch nur (CH₃)₃SiBr, B(OCH₃)₃ und 11 nachweisbar.
- [18] A. Finch und J. Pearn, Tetrahedron 20, 173
- [19] E. W. Abel, D. A. Armitage und R. P. Busch, J. Chem. Soc. 1965, 7098.
 [20] M. Wieber und W. Künzel, Z. Anorg. Allg. Chem.
- 403, 107 (1974).
- [21] J. Kroner, D. Nölle und H. Nöth, Z. Naturforsch. 28b, 416 (1973); H. Nöth und B. Wrackmeyer, in P. Diehl, E. Fluck und R. Kosfeld (Herausg.): NMR of Boron Compounds, NMR: Basic Principles and Applications, Springer Verlag, Band 14 (1978)
- [22] H. Nöth und B. Wrackmeyer, Chem. Ber. 106,
- 1145 (1973). [23] a) R. H. Cragg, G. Lawson und J. F. J. Todd, J. Chem. Soc. Dalton 1972, 878;
 b) R. H. Cragg, J. P. N. Husband und A. F. Weston, J. Chem. Soc. Dalton 1973, 568; c) R. H. Cragg und A. F. Weston, J. Organomet.
- Chem. **61**, 161 (1974). [24] R. H. Cragg, J. F. J. Todd, R. B. Turner und A. F. Weston, J. Chem. Soc. Chem. Commun. 1972, 206.
- [25] J. Flynn (Jr.), V. V. Badiger und W. E. Truce, J. Org. Chem. 28, 2298 (1963).
- [26] W. Schroth und J. Peschel, Chimia 18, 171 (1964).
- [27] E. W. Abel und C. R. Jenkins, J. Chem. Soc. A 1967, 1344.
- [28] S. G. Shore, J. L. Christ, B. Lockmann, J. R. Long und A. D. Coon, J. Chem. Soc. Dalton 1972, 1123
- [29] H. Nöth und H. Vahrenkamp, J. Organomet. Chem. 11, 399 (1968).
- [30] Die intensive Farbe weist auf einen Charge-Transfer-Komplex hin.
- H. Nöth und M. J. Sprague, J. Organomet. Chem. 22, 11 (1970).
- [32] Diese Programme schrieb F. Bachmann.